



计算光学成像与 光信息处理技术前沿

(第10.1讲)

左超

南京理工大学电光学院光电技术系

Jiangsu Key Laboratory of Spectral Imaging & Intelligent Sense (SIIS)
Nanjing University of Science and Technology,
Nanjing, Jiangsu Province 210094, China



电子工程与光电技术学院
School of Electronic and Optical Engineering



江苏省光谱成像与智能感知重点实验室
Jiangsu Key Laboratory of Spectral Imaging & Intelligent Sense

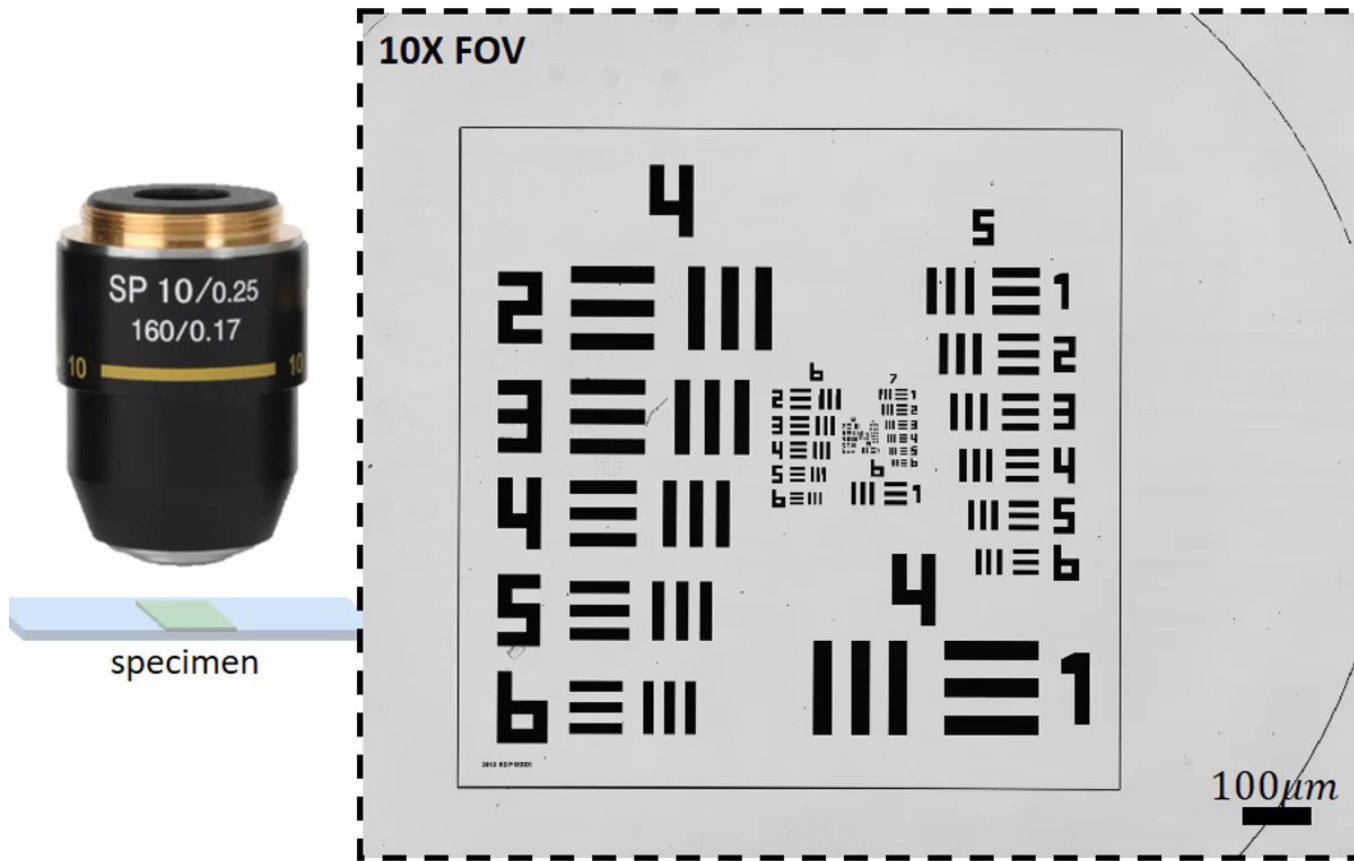
1

研究背景



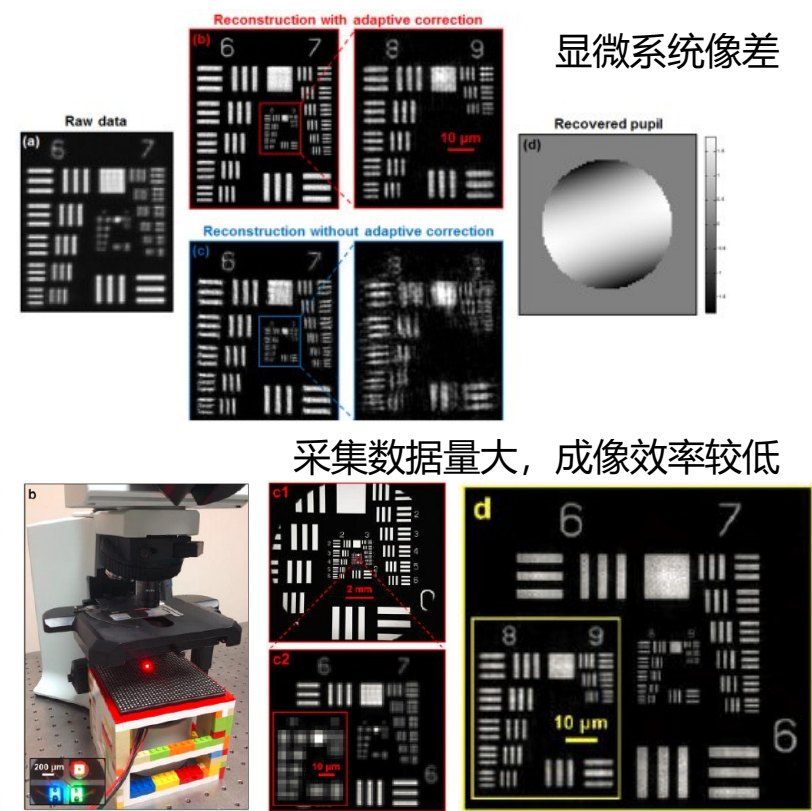
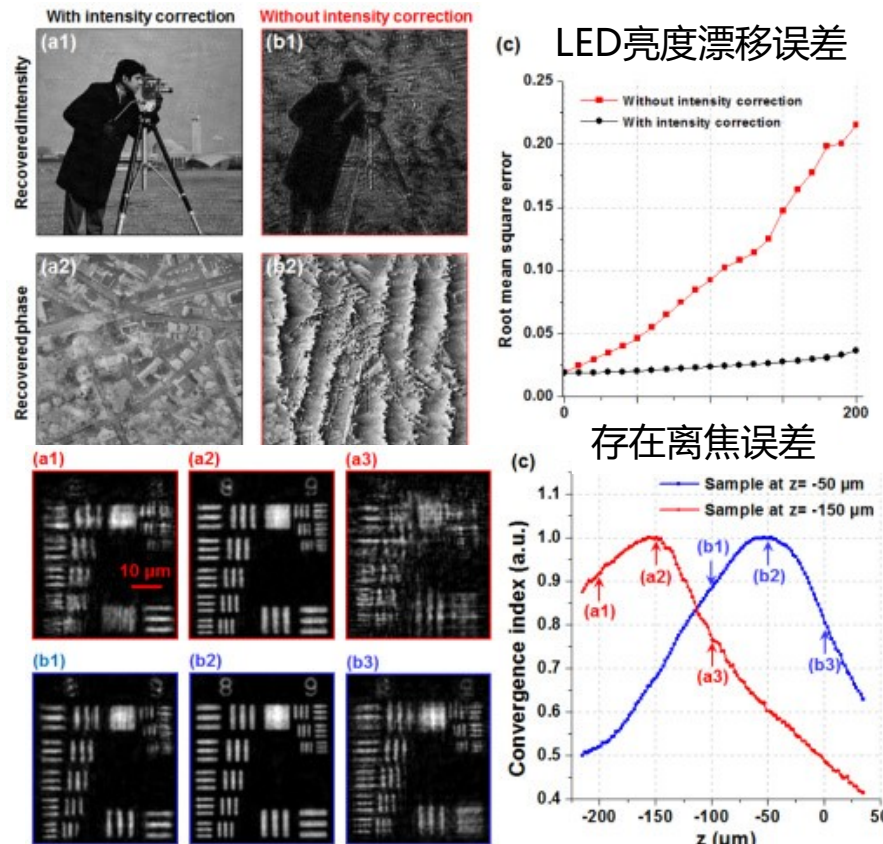


痛点：成像分辨率与视场的制约



口 现有傅里叶叠层成像技术

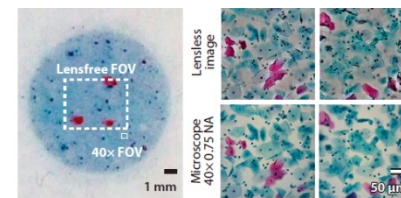
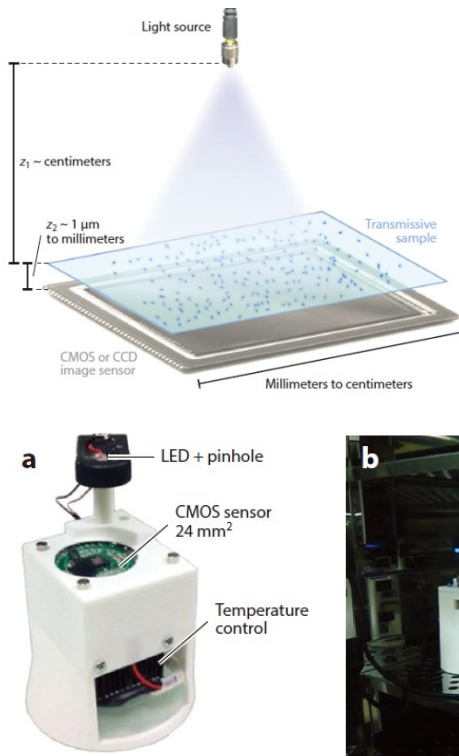
可实现大视野高分辨成像，但系统复杂，误差影响大，成像效率低



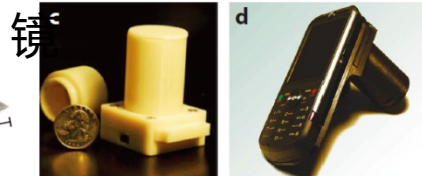


口 现有无透成像技术

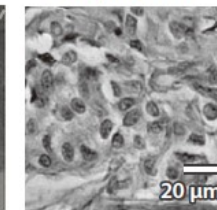
可实现大视野成像，系统简单，成本低，但成像分辨率较低



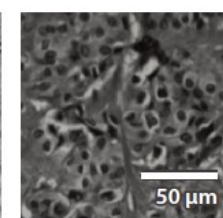
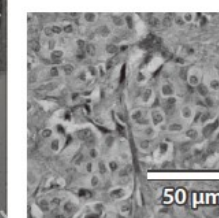
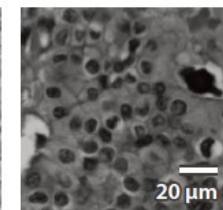
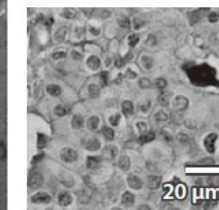
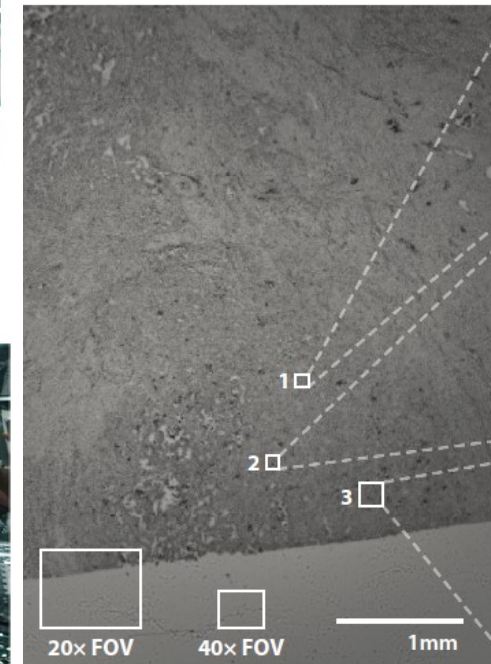
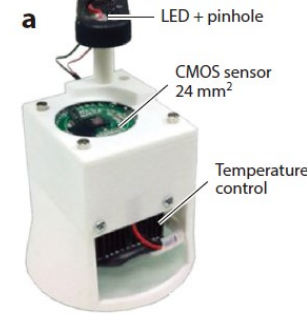
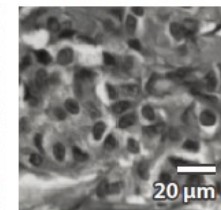
a Full FOV lensfree amplitude



b Lensfree amplitude

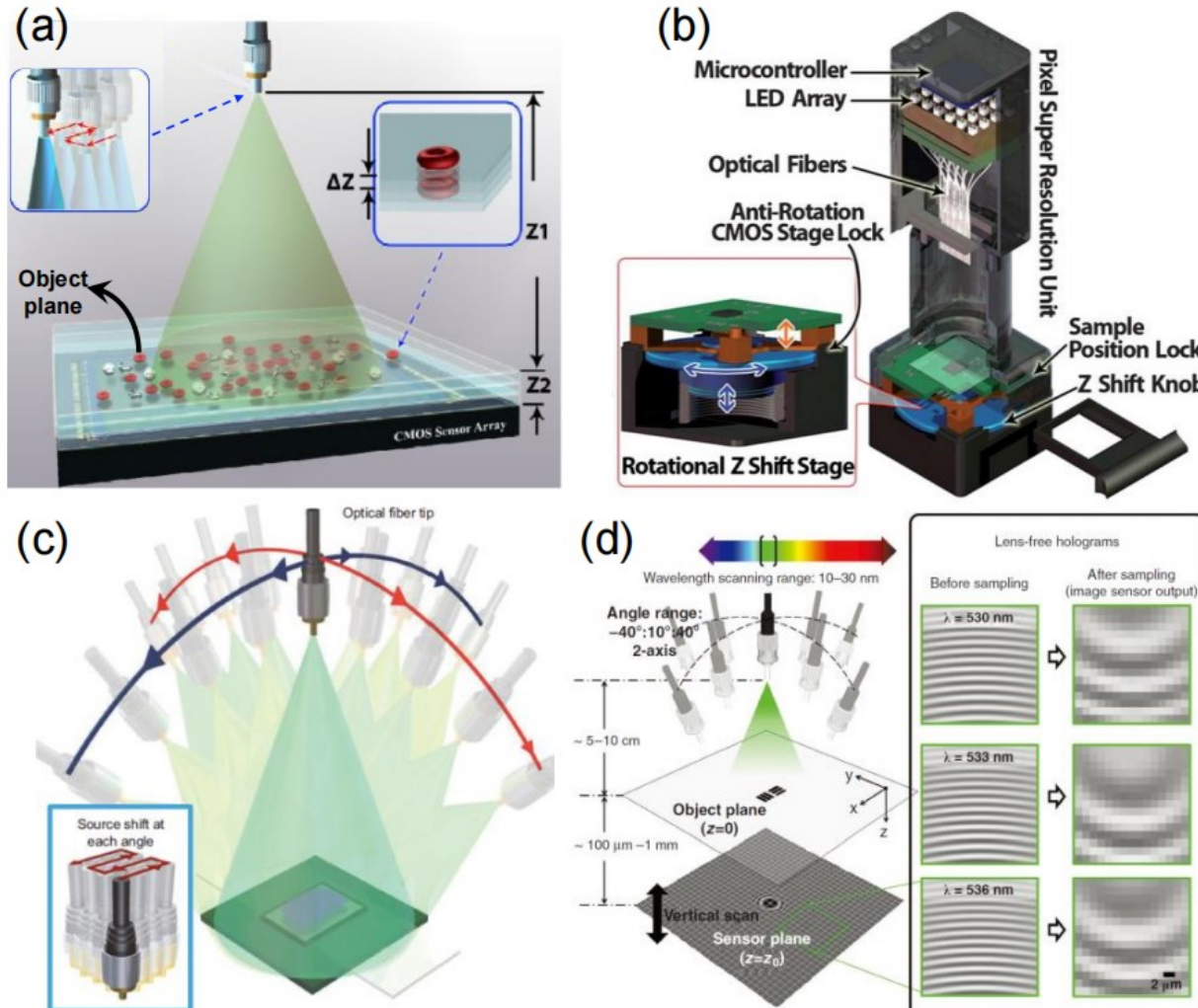


c Microscope 40x 0.75 NA





口 无透镜成像系统



2 典型结构





南京理工大学
NANJING UNIVERSITY OF SCIENCE & TECHNOLOGY

基于多波长LED的数字全息无透镜



Zuo C, Sun J, Zhang J, et al. Lensless phase microscopy and diffraction tomography with multi-angle and multi-wavelength illuminations using a LED matrix[J]. Optics express, 2015, 23(11): 14314-14328.



核心优势

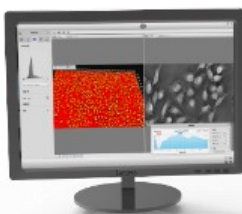


大视场无透镜成像

国内首创无透镜显微镜，相较于传统显微镜，视场可提升2个数量级；大幅减小体积，可内置于培养箱进行长时间观察

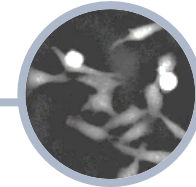


超轻量化结构



定量相位成像

无需染色标记，实现真正的细胞“零损伤”观察，突破活细胞观测时间限制



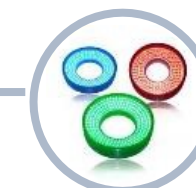
自适应超分辨率成像

自主研发算法，成像分辨率可达770nm，属于业内领先水平



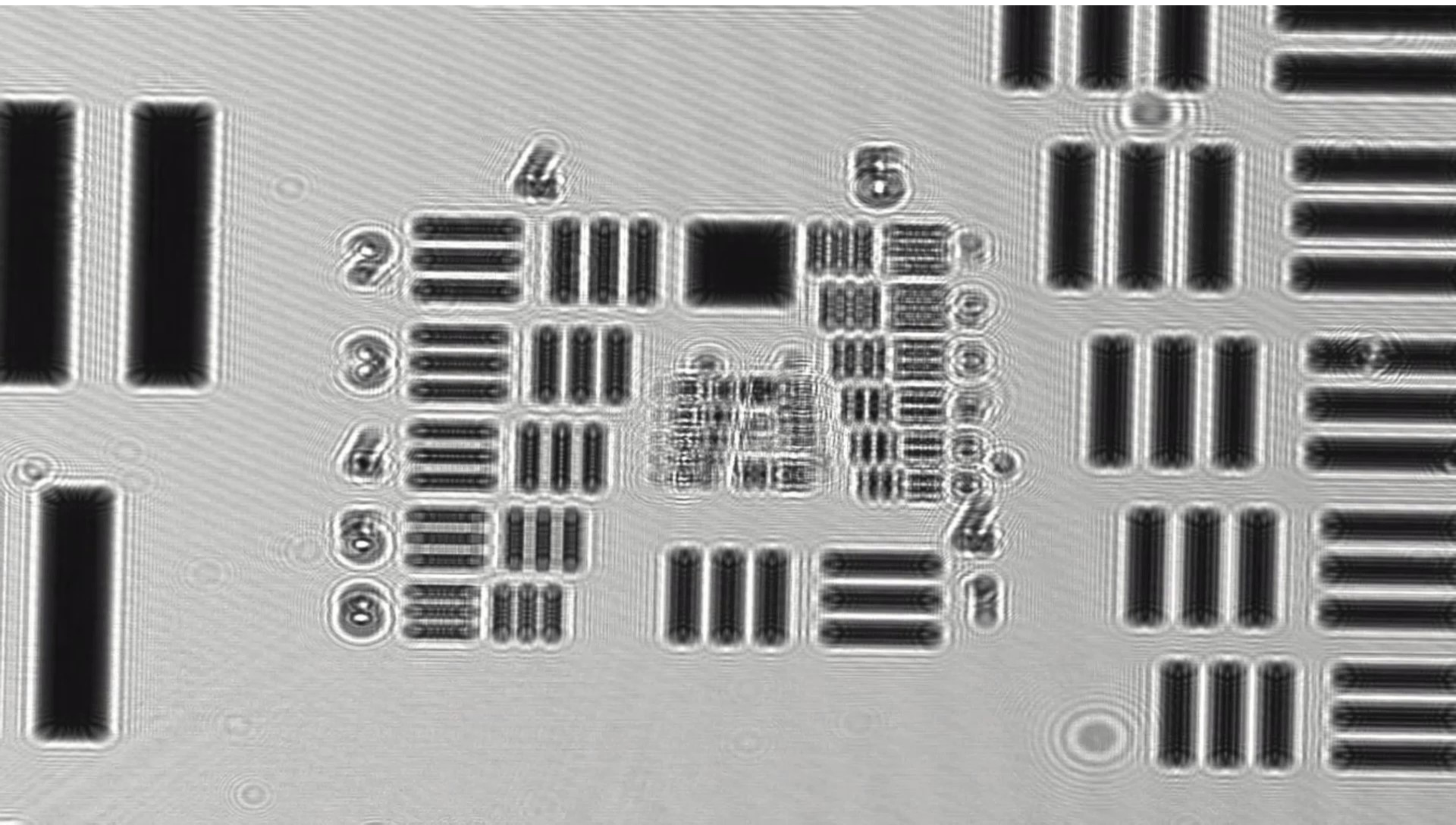
多波长LED照明

避免高精度位移台的使用、提高环境稳定性



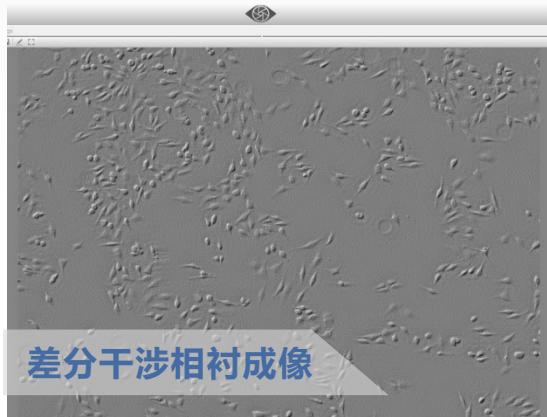


核心优势

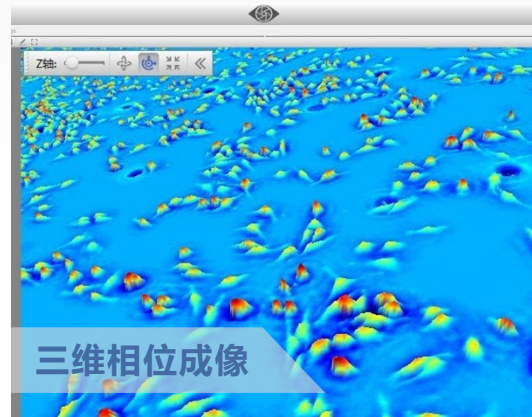




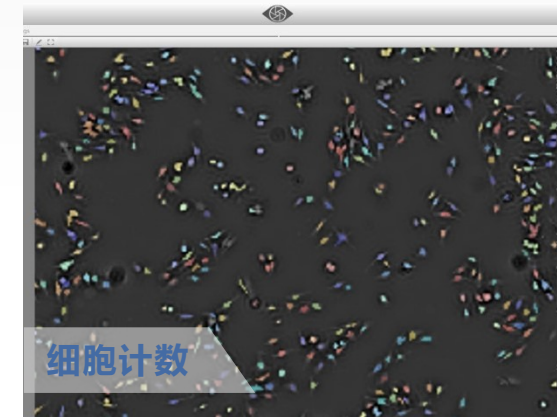
口 软件功能



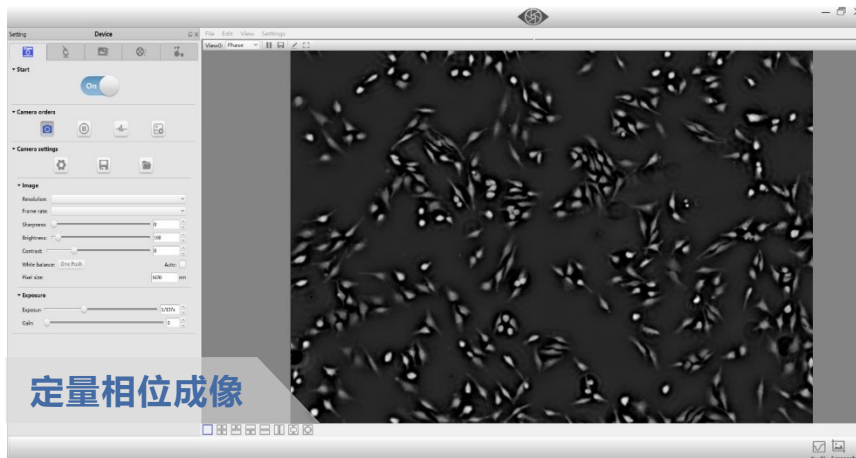
差分干涉相衬成像



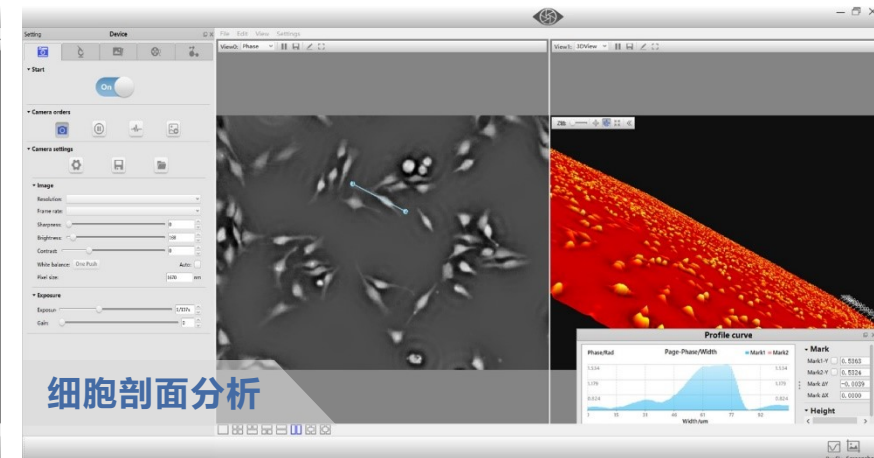
三维相位成像



细胞计数



定量相位成像



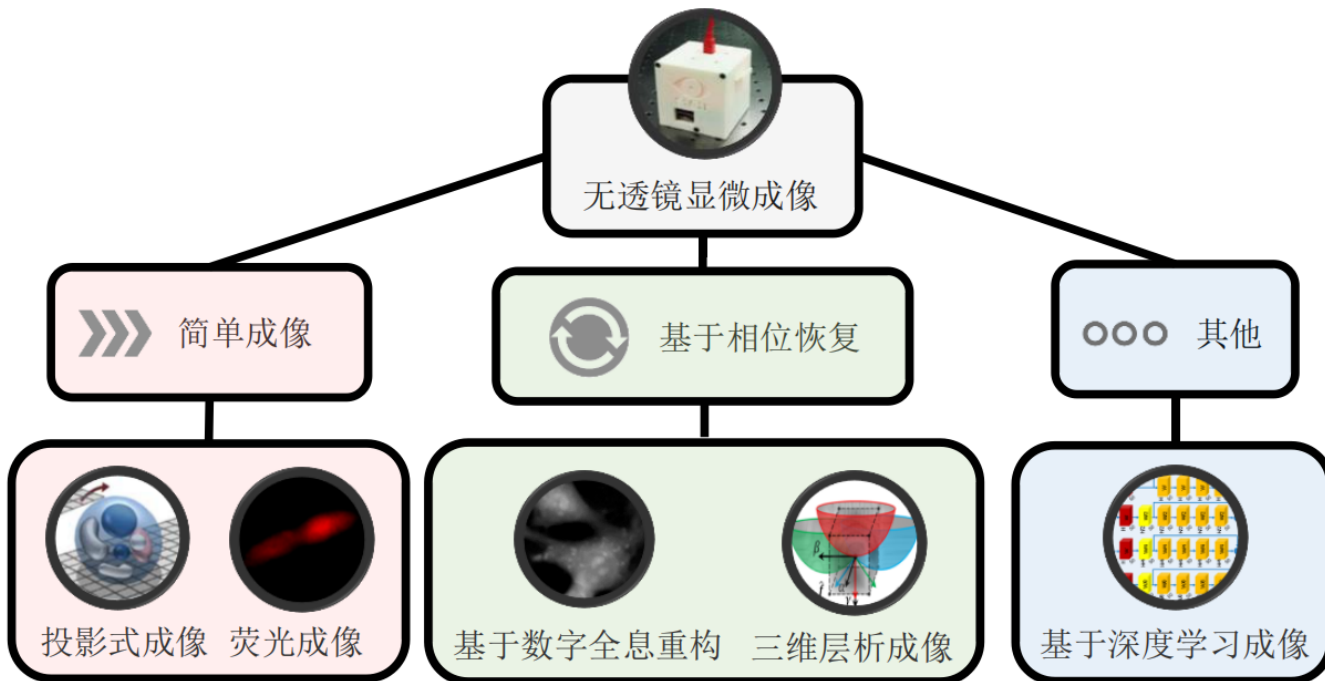
细胞剖面分析

3 基本原理





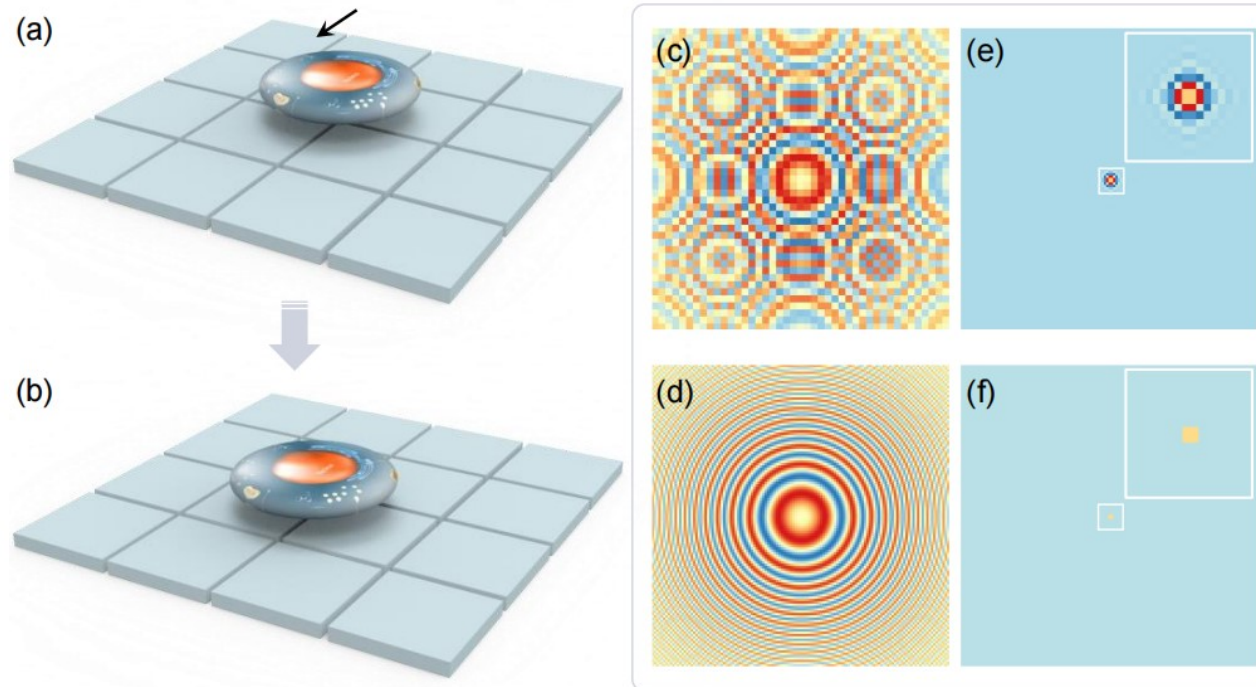
- 基于投影式成像
- 基于深度学习成像
- 基于同轴数字全息成像





□ 投影式成像

无透镜成像方式中最简单是投影式成像，其基本实验光路结构如下图所示，类似于传统显微成像“所见即所得”的方式，即整个过程无需图像重构算法。



投影式结构和仿真

深度学习成像

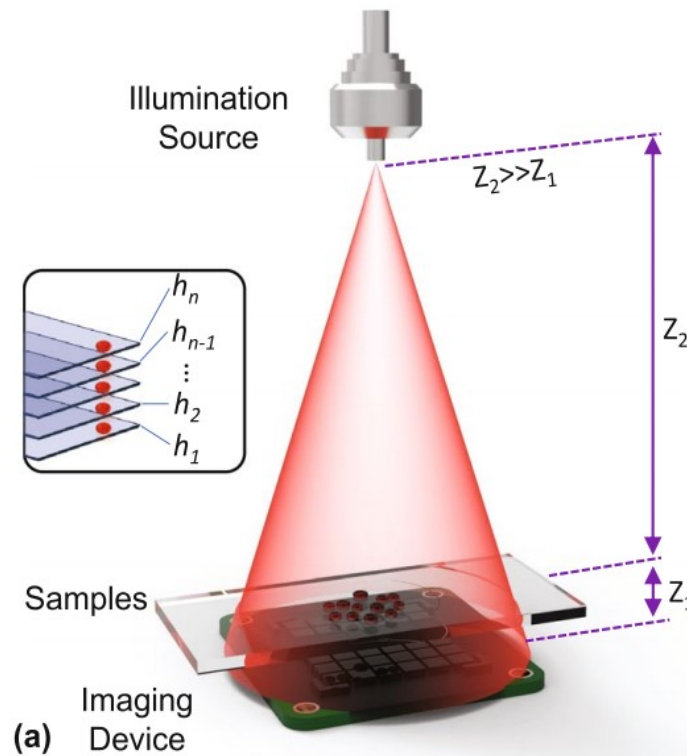
输入：原始全息图；输出：恢复相位图像

近些年发展出的基于深度学习成像方式，在一些成像结果方面获得了获得了巨大成功，但是由于获取训练集的困难、匹配点依赖手工选取以及物理机制的不明确，在测量方面仍然受了一些质疑。

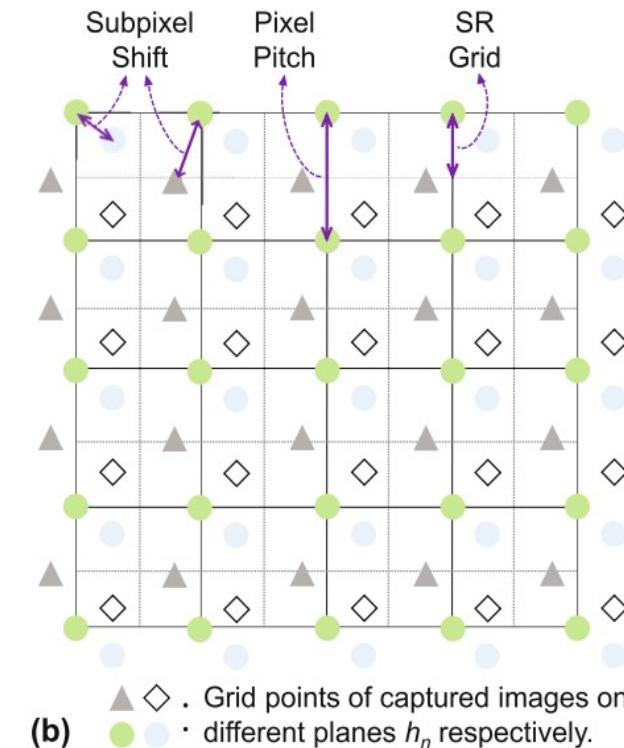
成像方式 条目	简单成像		基于相位恢复		其他
	投影式成像	荧光成像	基于数字全息重构	三维层析成像	
系统搭建难度 (无透镜系统之间的对比)	一般	难	容易	较难	容易
分辨率提高能力	一般	弱	强	一般	强
物理模型	几何光学	物理光学	物理光学	几何/物理光学	“黑箱”
成像时长 (超分辨)	一般	一般	一般	慢	训练耗时长
是否需要染色	否	是	否	否	否
相位成像是否定量	否	-	是	是	是
关键难点	去除表面玻璃	去除表面玻璃、完全滤除激光发光	重构算法	重构算法	训练集的获取



口 基于同轴全息的无透镜成像



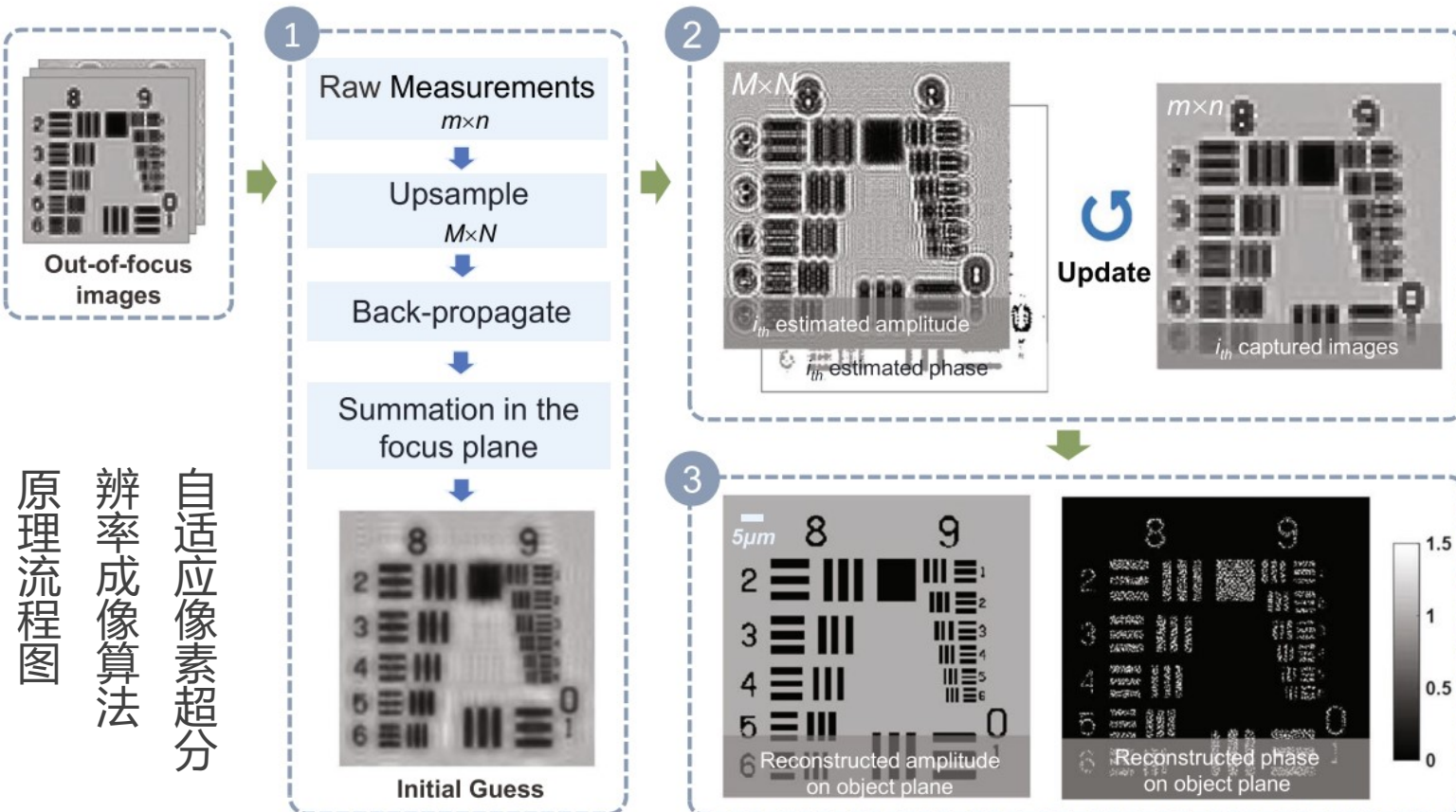
基于激光的无透镜成像系统



传感器亚像素成像物理模型



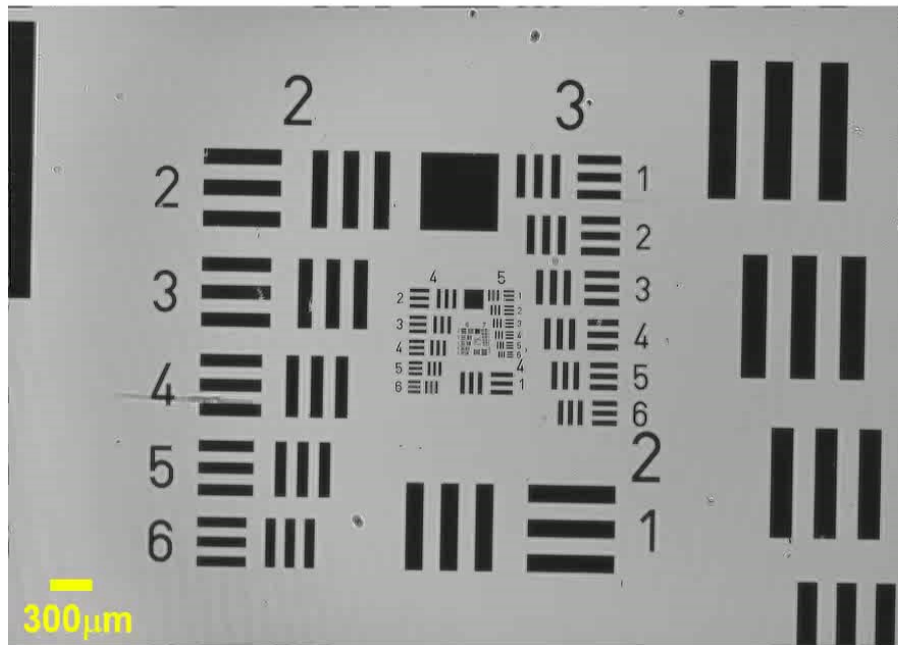
基于同轴全息的无透镜成像：算法原理



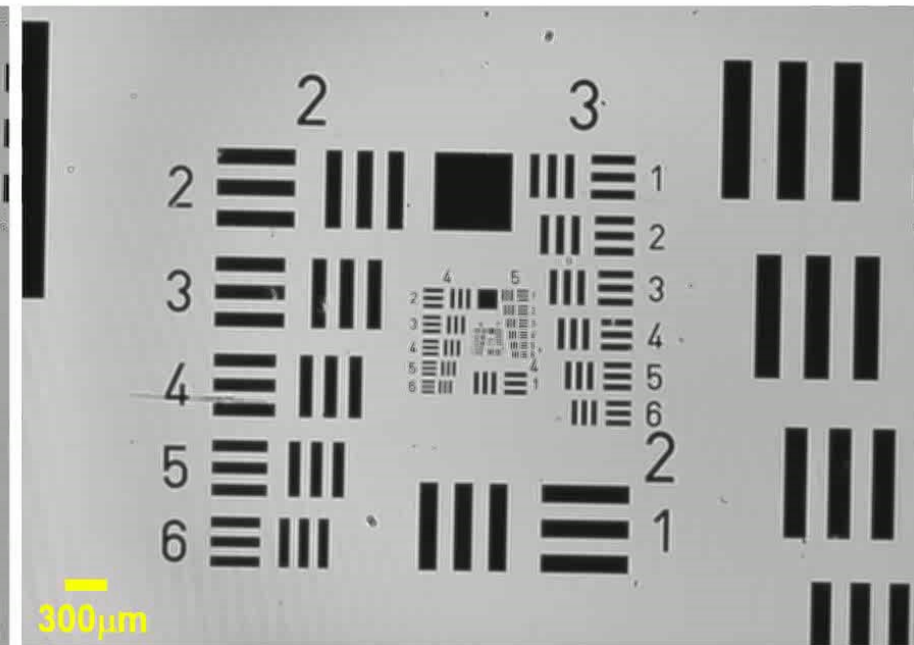


口 基于同轴全息的无透镜成像：实验结果

Our method



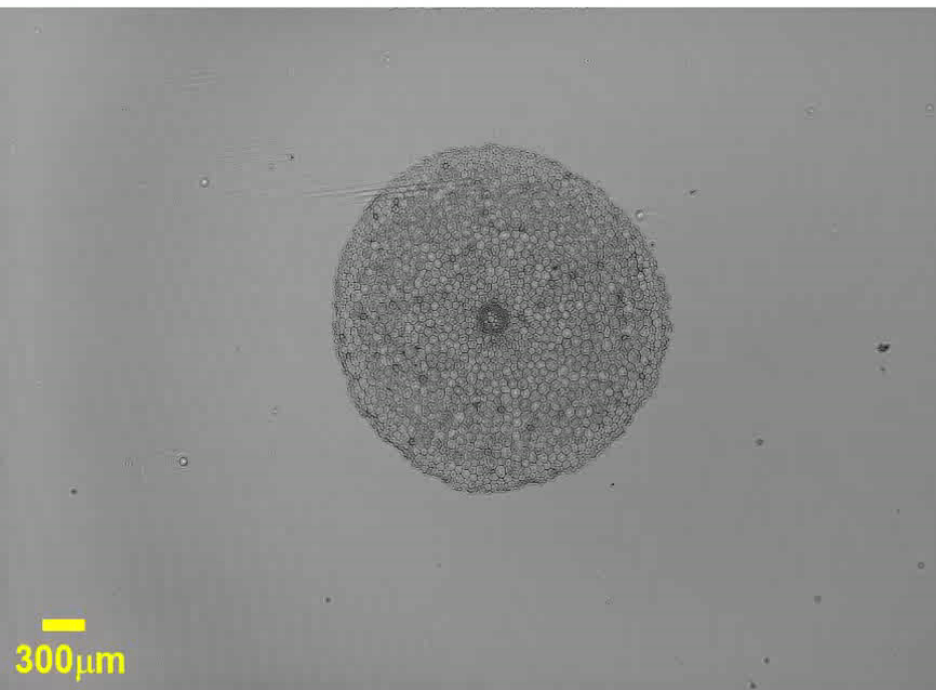
Traditional method



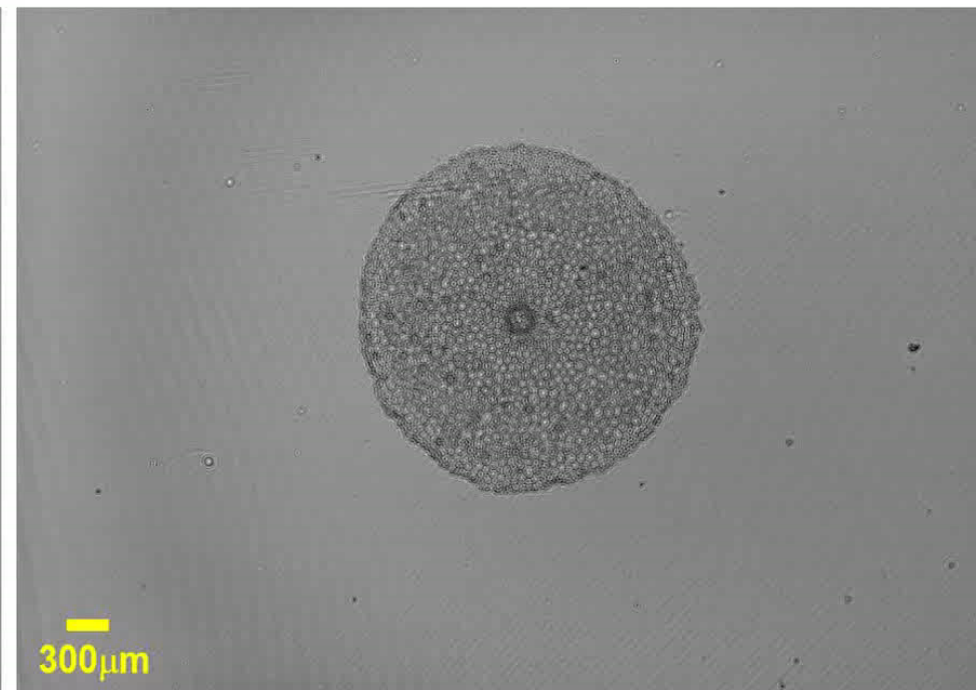


口 基于同轴全息的无透镜成像：实验结果

Our method



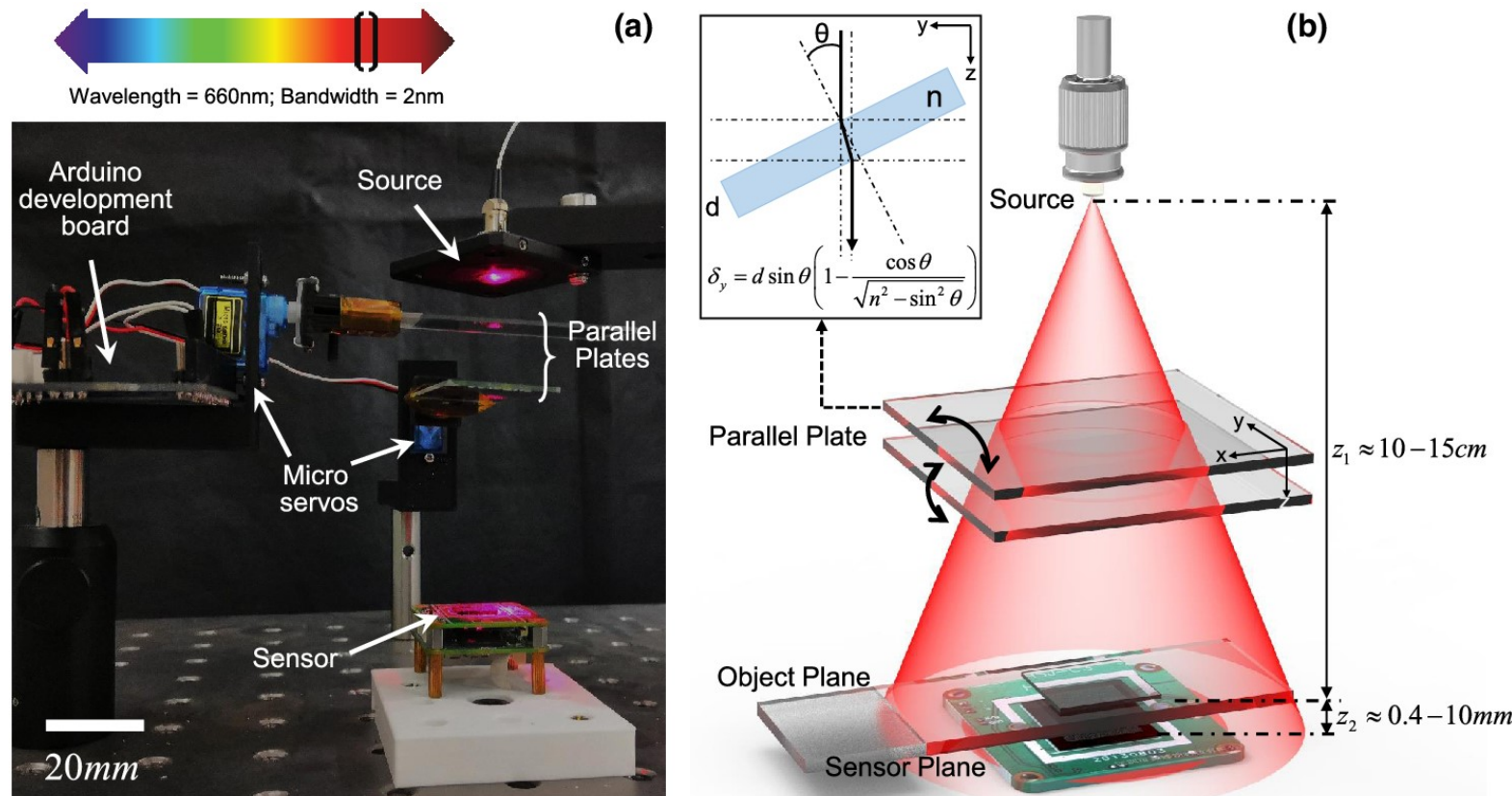
Traditional method



Zhang J, Sun J, Chen Q, et al. Adaptive pixel-super-resolved lensfree in-line digital holography for wide-field on-chip microscopy[J]. Scientific reports, 2017, 7(1): 1-15.

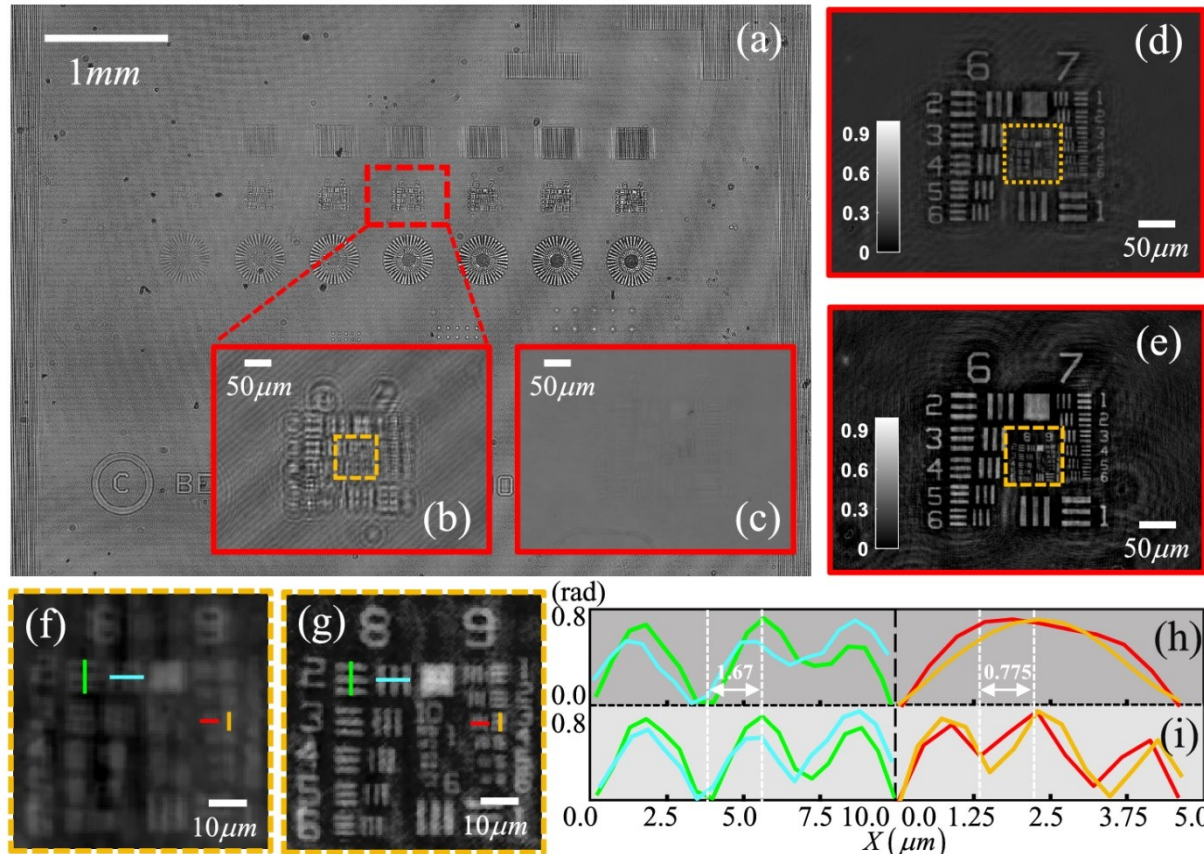


口 基于主动微扫描的动态超分辨率成像算法





口 基于主动微扫描的动态超分辨率成像算法：实验结果

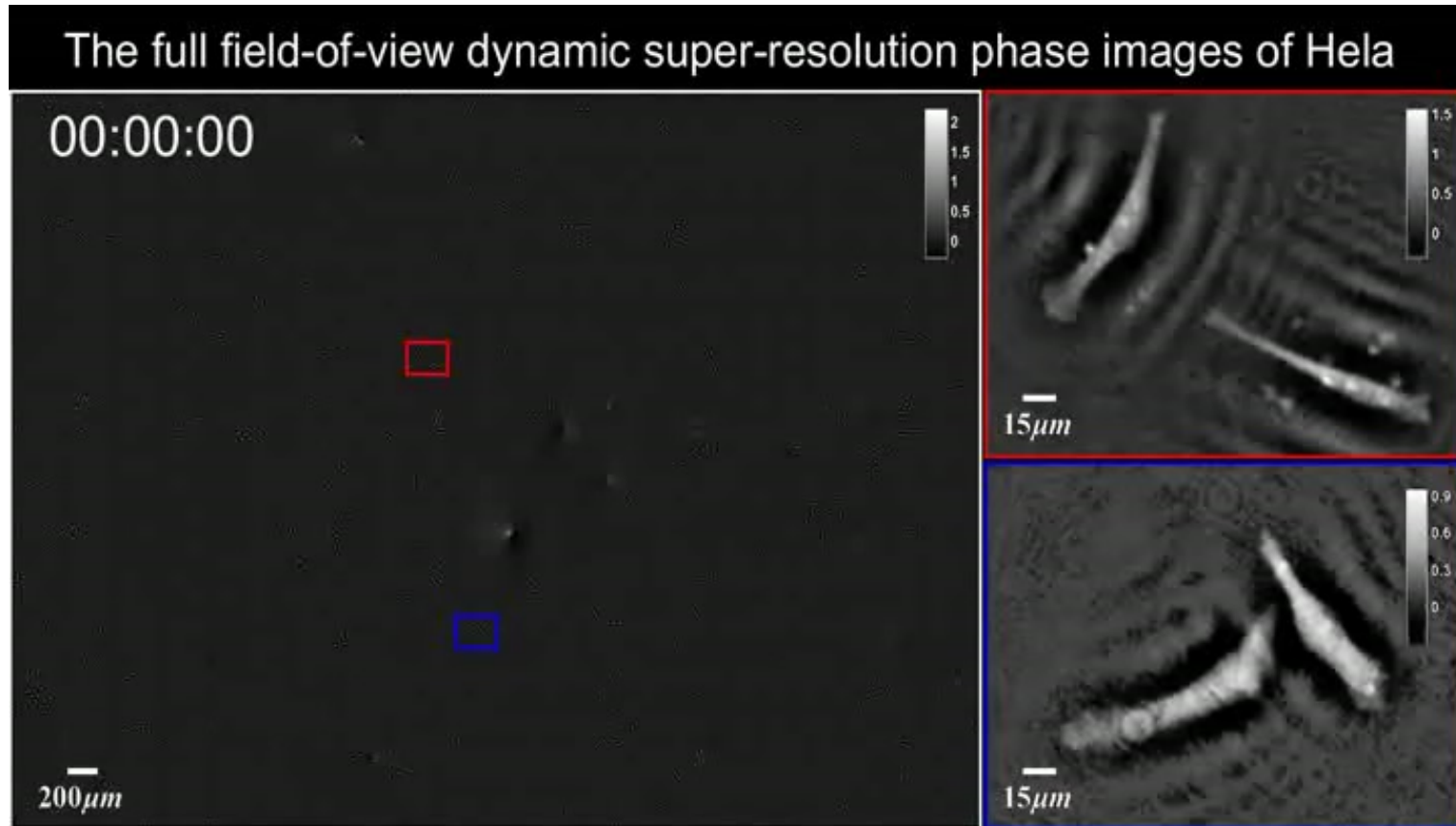


传统方法重构分辨率：
 $1.67\mu\text{m}$

本方法重构分辨率：
 775nm



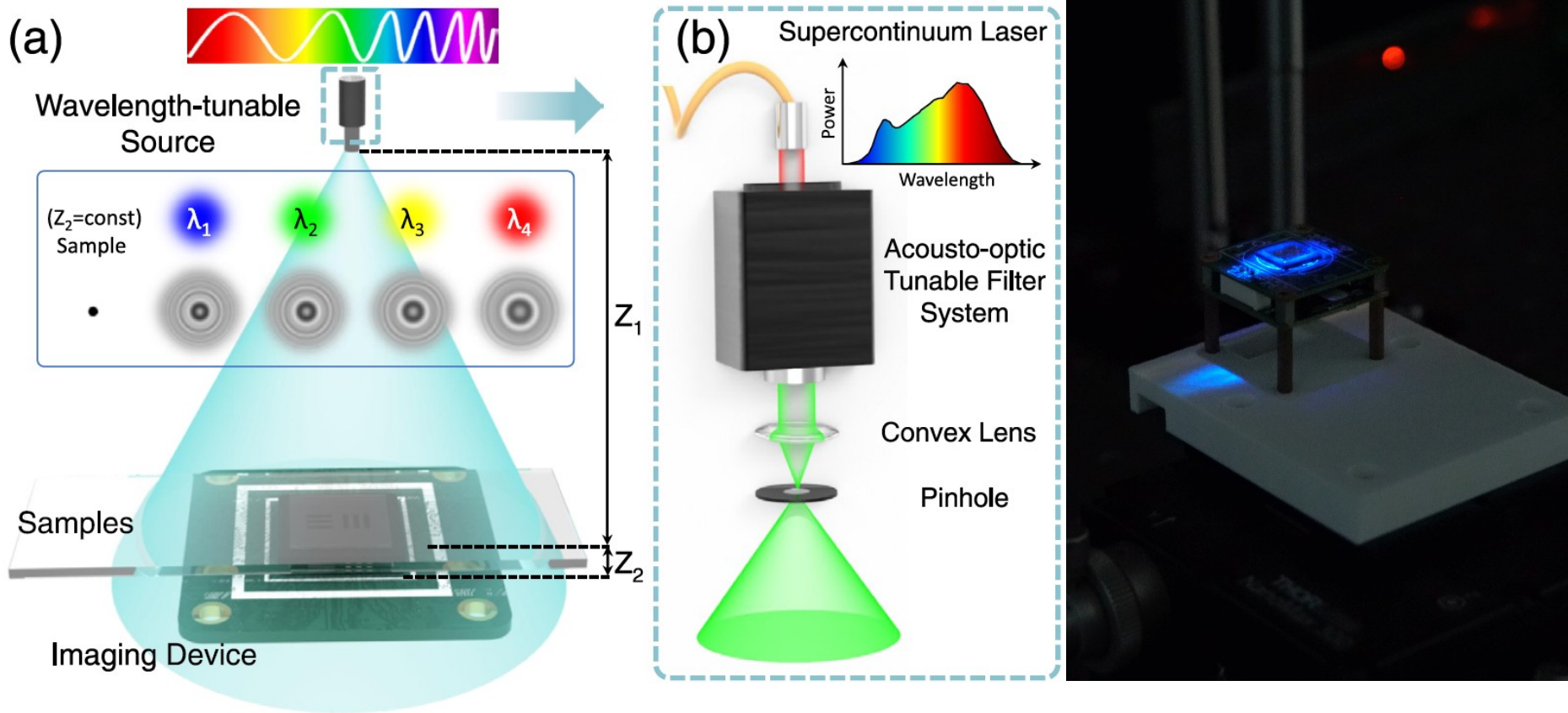
口 基于主动微扫描的动态超分辨率成像算法：实验结果



Zhang J, Chen Q, Li J, et al. Lensfree dynamic super-resolved phase imaging based on active micro-scanning[J]. Optics letters, 2018, 43(15): 3714-3717.

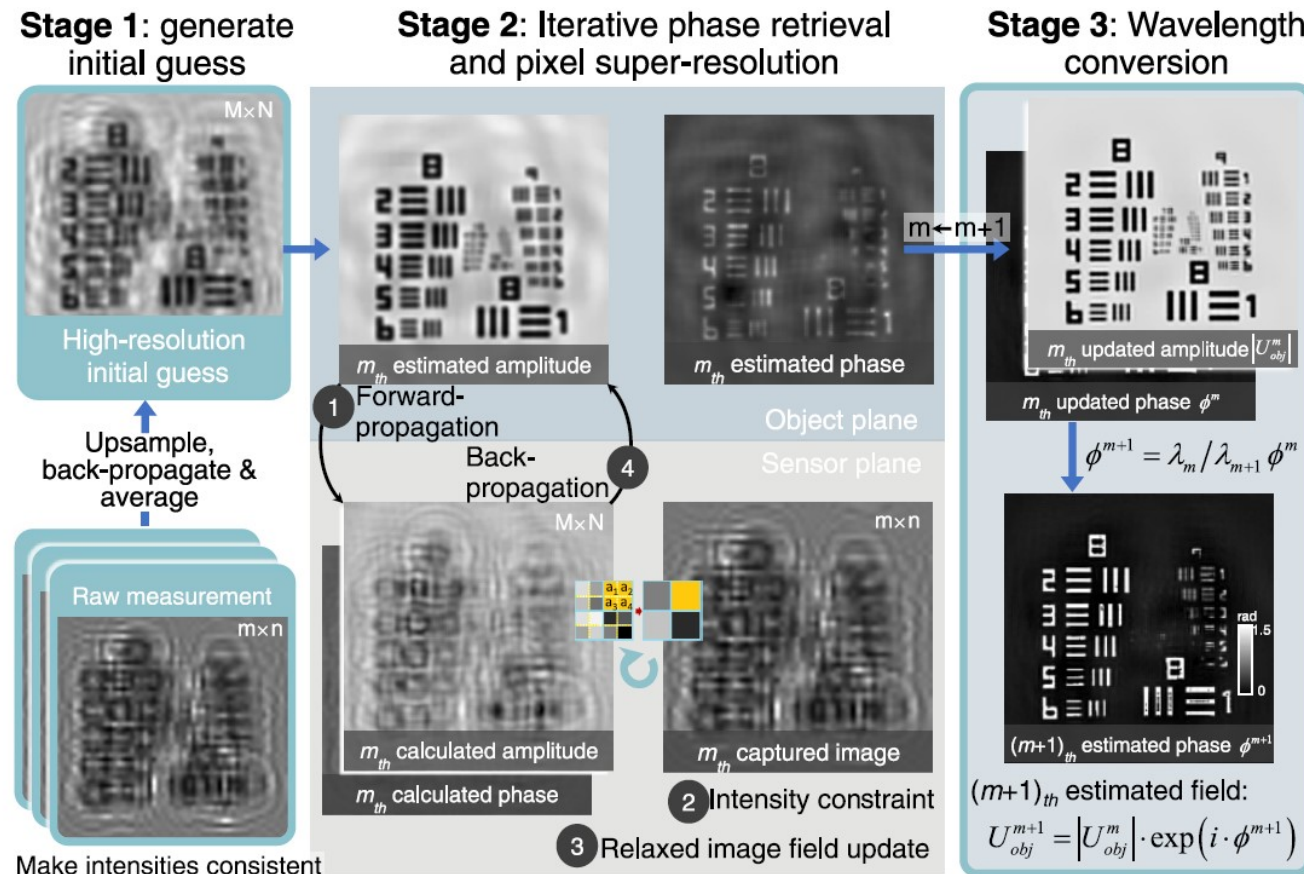


多波长扫描像素超分辨成像技术



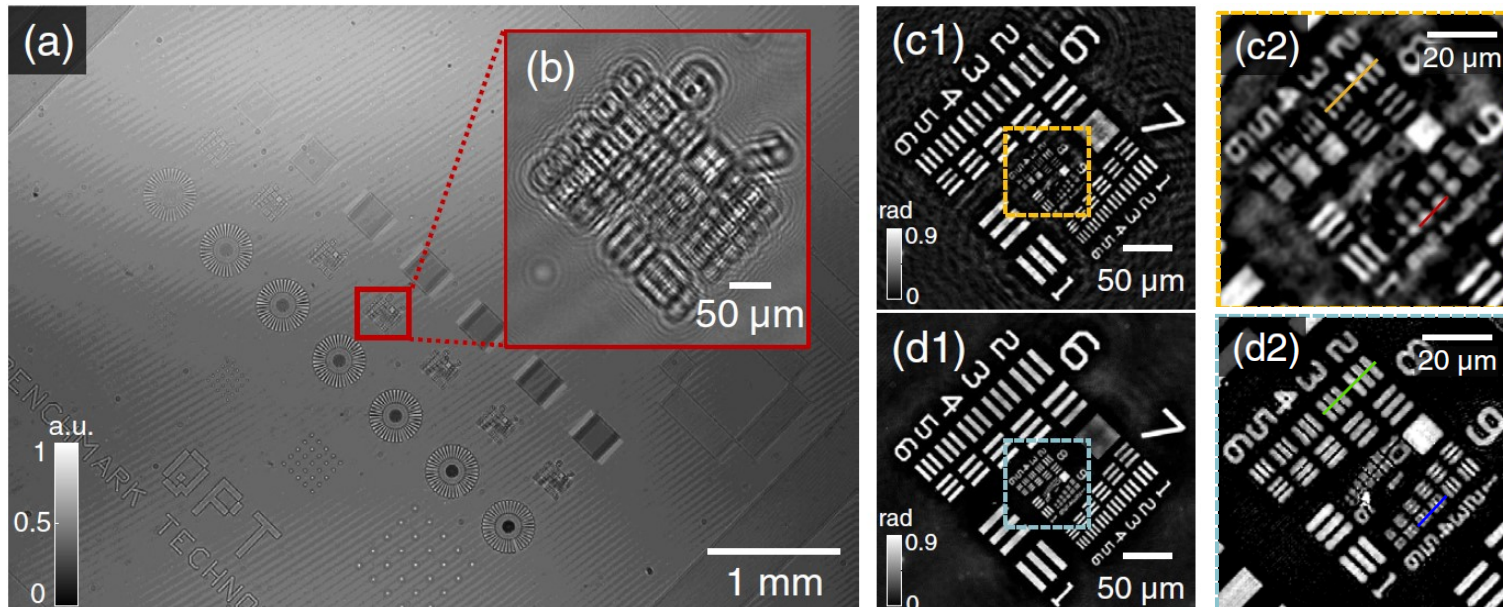


多波长扫描像素超分辨成像技术：算法原理



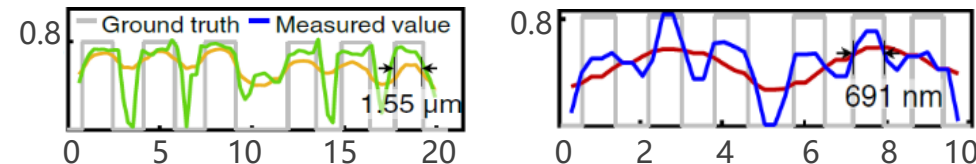


多波长扫描像素超分辨成像技术：实验结果



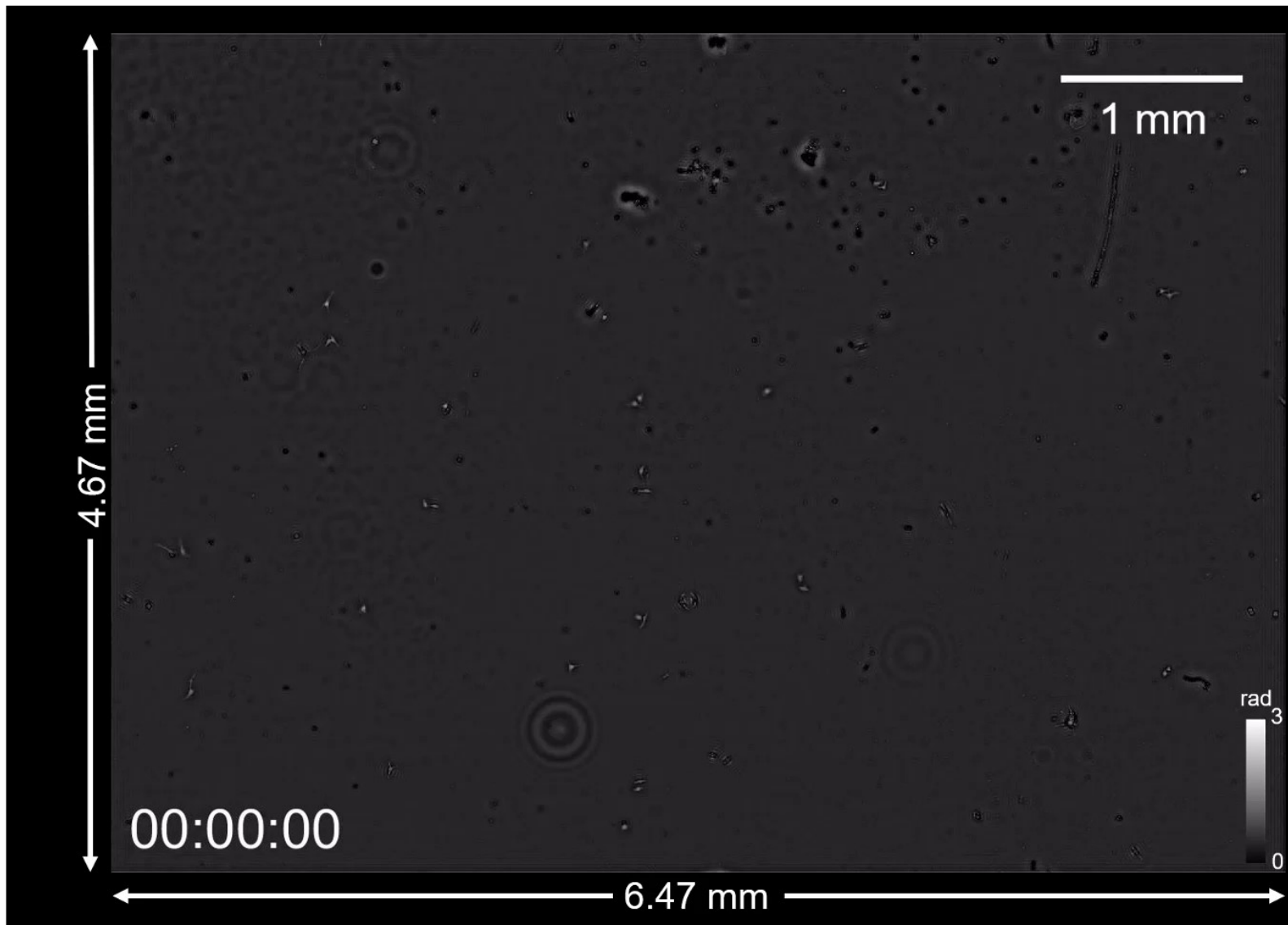
传统方法重构分辨率: $1.55\mu\text{m}$

本方法重构分辨率: 691nm



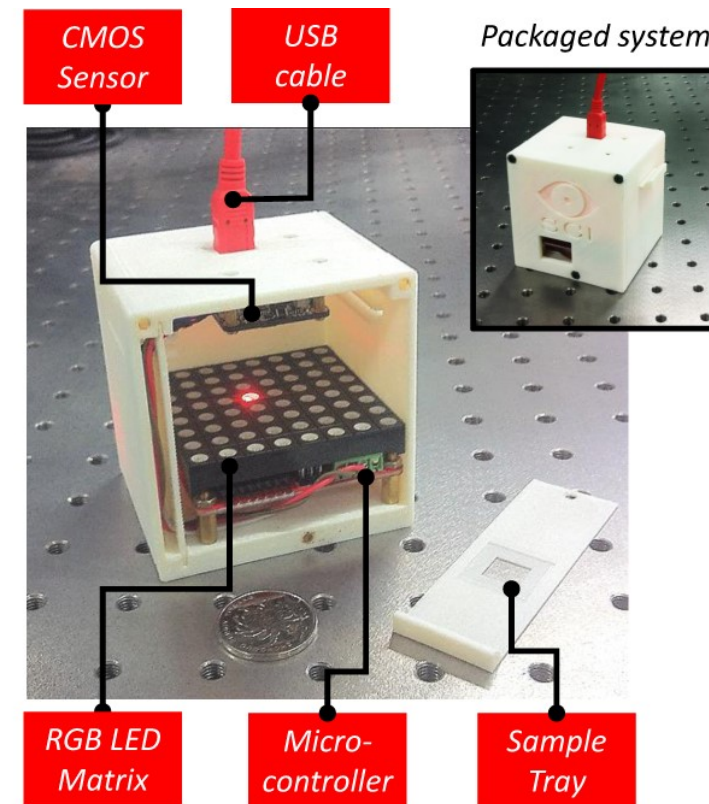
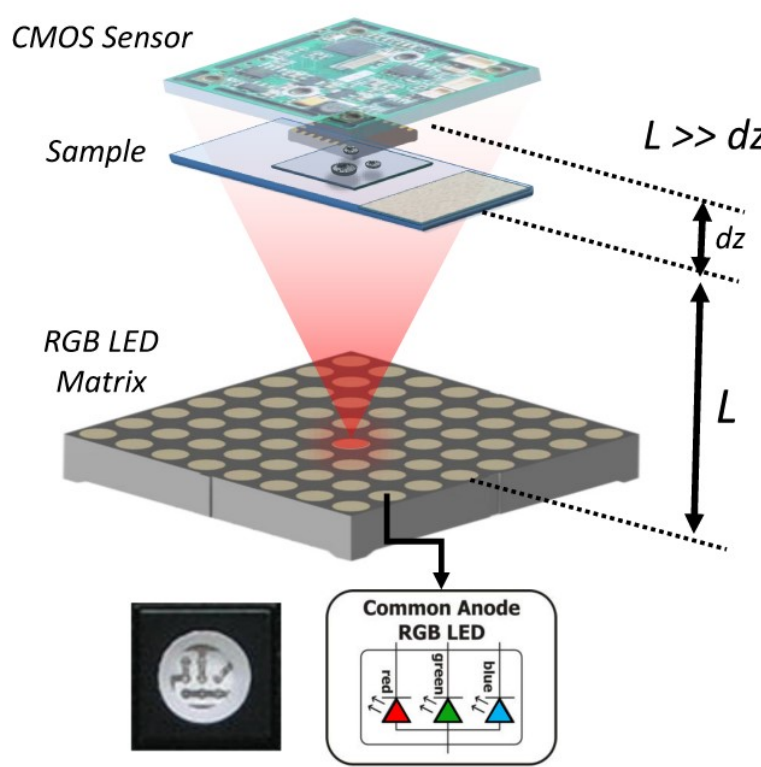


口多波长扫描像素超分辨成像技术：实验结果



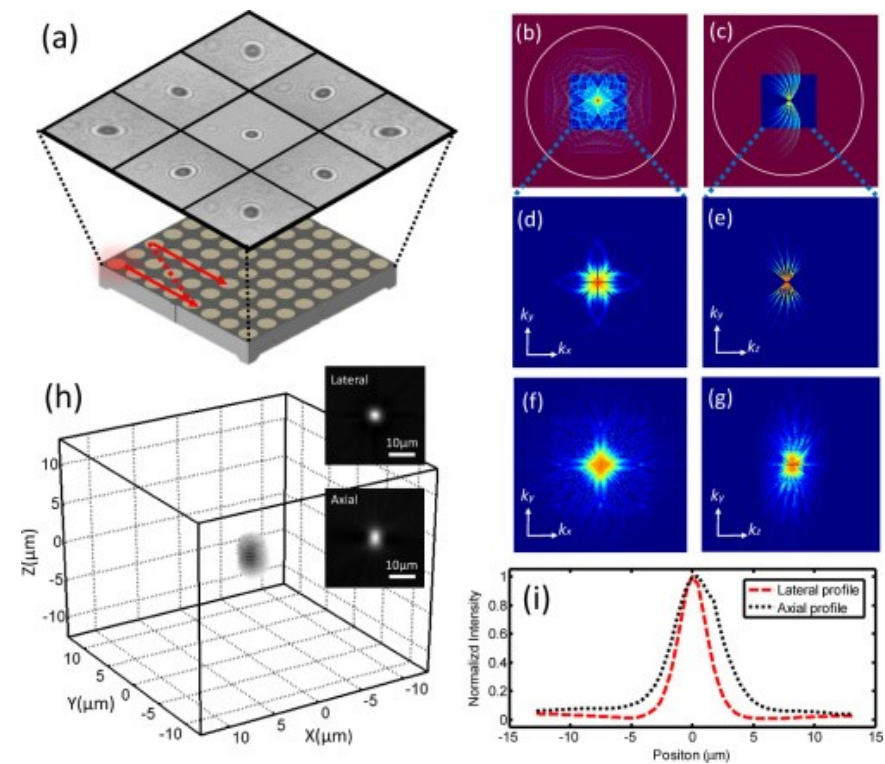
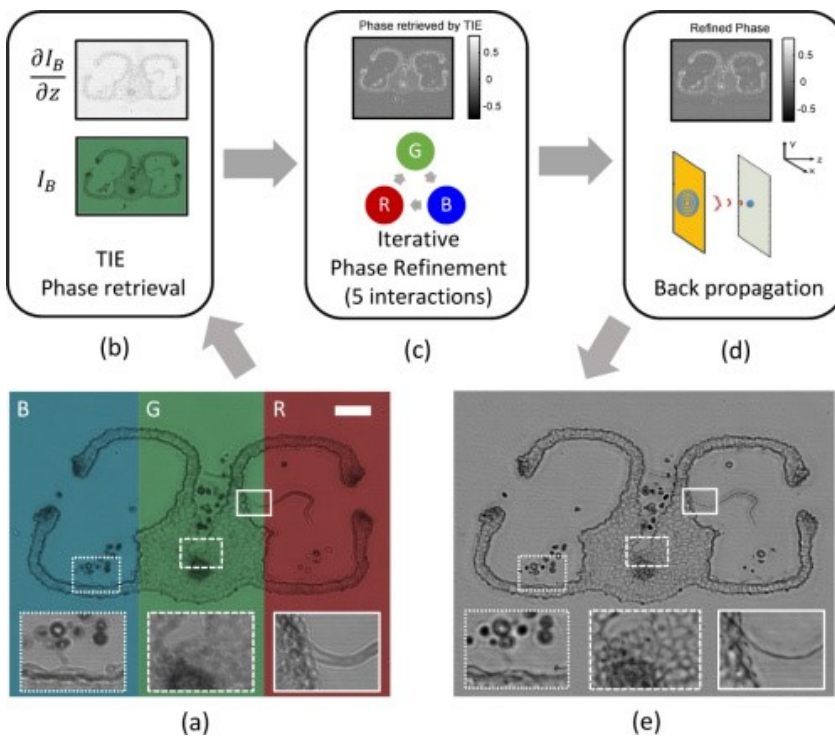


口 基于多角度多波长的无透镜衍射层析算法



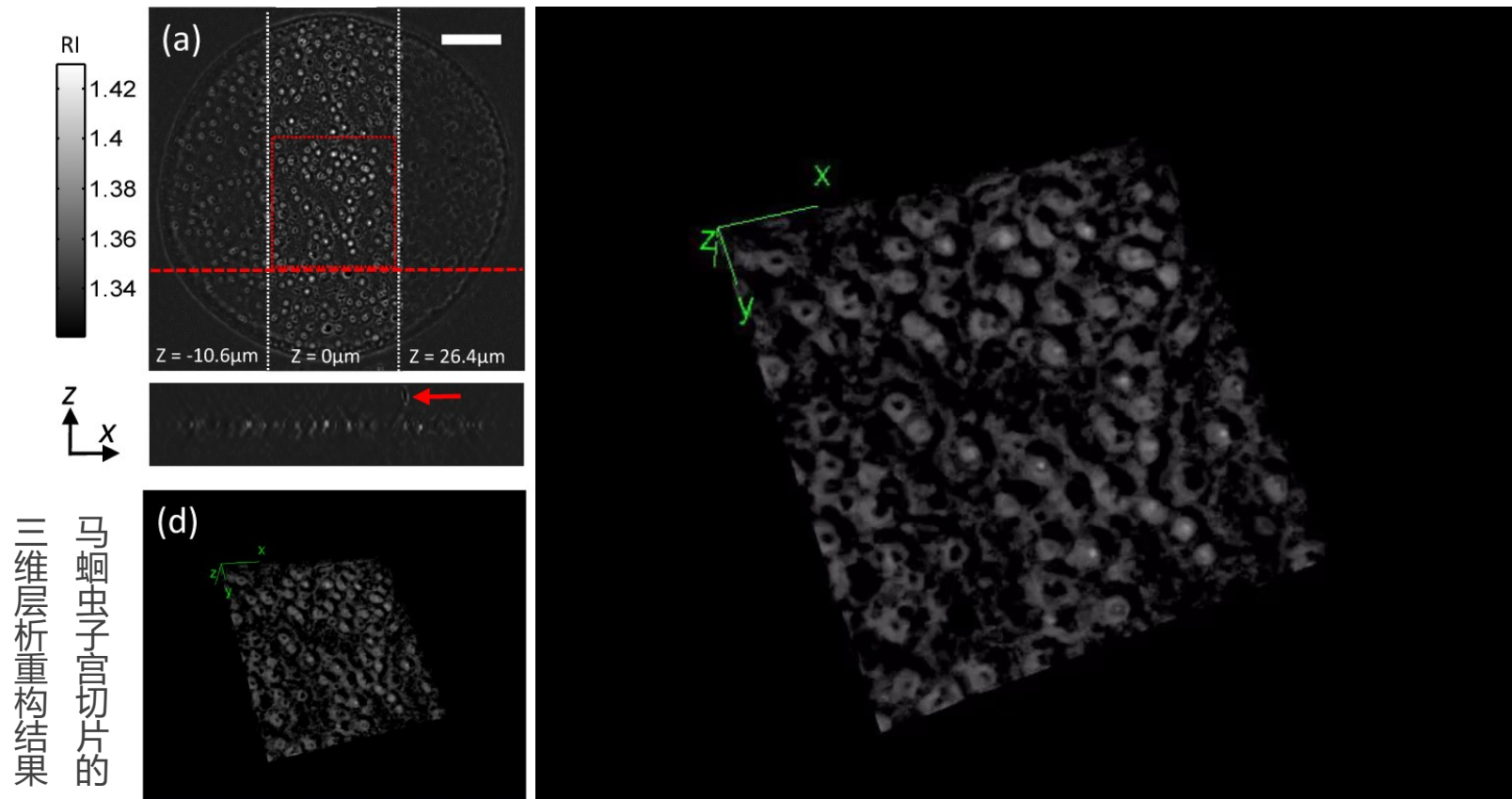


基于多角度多波长的无透镜衍射层析算法：算法原理





口 基于多角度多波长的无透镜衍射层析算法：实验结果



Zuo C, Sun J, Zhang J, et al. Lensless phase microscopy and diffraction tomography with multi-angle and multi-wavelength illuminations using a LED matrix[J]. Optics express, 2015, 23(11): 14314-14328.

4 讨论



Thank you